

ИССЛЕДОВАНИЕ УСТОЙЧИВОСТИ ЛИНЕЙНЫХ СИСТЕМ

З.Е. Филер, А.И. Музыченко

Кировоградский государственный педагогический университет
им. В. Винниченко

Государственная лётная академия Украины

Рассматривается устойчивость линейных систем, описываемых дифференциальными уравнениями с постоянными и периодическими коэффициентами и запаздываниями. Разработаны методы, алгоритмы и программы исследования устойчивости, реализованные в Maple. Разработанные программы выдают сообщение об устойчивости, а при необходимости – визуализацию соответствующих годографов.

Введение. Критерии устойчивости линейных систем были разработаны Э. Раусом и А. Гурвицам еще в XIX ст. В 1936 г. советским ученым А.В. Михайловым и американским физиком Г. Найквистом разработаны «частотные» критерии устойчивости. Для их применения необходимо искать характеристический полином, и они рассчитаны на «ручные» вычисления. Лишь критерий Михайлова переносится на системы с запаздываниями. С появлением ЭВМ становится актуальным их программная реализация.

1. **Критерий Михайлова и его финитизация.** Рассмотрим дифференциальное уравнение $y^{(n)} + a_{n-1}y^{(n-1)} + \dots + a_1y' + a_0y = 0$. Его характеристическое уравнение $f(\lambda) \equiv \lambda^n + a_{n-1}\lambda^{n-1} + \dots + a_1\lambda + a_0 = 0$. Критерий Михайлова геометрически формулируется для годографа функции $f(i\omega)$ так: если при изменении ω от 0 до $+\infty$ радиус-вектор поворачивается на угол $\Phi = n\pi/2$ против часовой стрелки, то система *асимптотически устойчива*. Существует и алгебраическая формулировка этого критерия: корни вещественной $u(\omega) = \operatorname{Re} f(i\omega)$ и мнимой $v(\omega) = \operatorname{Im} f(i\omega)$ частей функции $f(i\omega)$ при изменении ω от 0 до $+\infty$ чередуются, то есть между двумя последовательными корнями одной функции располагается точно один корень другой.

Недостатком критерия является необходимость рассмотрения бесконечного интервала изменения ω . Авторы предлагают *финитизацию* критерия с помощью замены $\omega = t/(1-t)$, $t \in [0;1)$ и умножения многочлена на $(1-t)^n$. При этом годограф будет иметь форму конечной спирали, радиус-вектор точек которой в случае асимптотической устойчивости делает вокруг точки. О поворот на угол $\Phi = n\pi/2$. На рис. 1 изображены годографы для уравнения

$3y^{(4)}(t) + 2y'''(t) + 9y''(t) + 2y'(t) + 2 = 0;$ на рис. 1а — нефинитизированный годограф, на рис 1б — финитизированный.

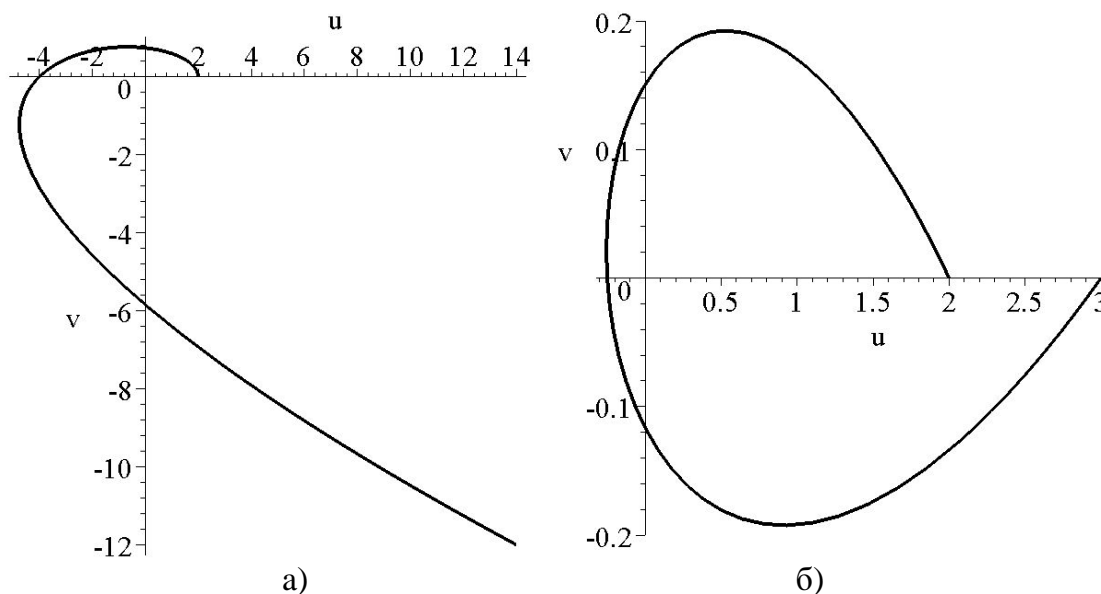


Рис. 1.

2. Устойчивость систем с периодической матрицей.

Анализ устойчивости неавтономных систем вида $dy_i/dt = \Phi_i(t, y_1, y_2, \dots, y_n)$, $i=1, 2, \dots, n$, в ряде случаев сводится к анализу устойчивости линейных систем с периодической матрицей. Когда известна матрица монодромии, или ее можно построить, выяснение устойчивости системы можно свести к использованию рассмотренного выше критерия Михайлова.

Рассмотрим систему вида

$$dx/dt = A(t)x \quad (1)$$

с T - периодической матрицей $A(t)$: $A(t+T) \equiv A(t)$, ($T > 0$). Если $X(t)$ — нормированная фундаментальная матрица решений системы (1), то на основе тождества $\dot{X}(t) \equiv A(t)X(t)$, $X(0) = E$, имеем $X(t+T) \equiv X(t)B$.

Матрица B называется *матрицей монодромии* системы.

Для *асимптотической устойчивости* периодической системы (1) необходимо и достаточно, чтобы все собственные значения ρ матрицы монодромии B лежали внутри единичного круга $|\rho| < 1$ [1].

Для исследования устойчивости матрицу монодромии ищем с помощью численных методов по определению, используя численное интегрирование задачи Коши на отрезке длиной в период. Возможно использование методов Эйлера или более точного – Рунге-Кутты.

Можно предложить другой метод установления устойчивости с помощью непосредственного применения принципа аргумента для функции $f(\rho) = \det(B - \rho E)$. Если при обходе по окружности

единичного радиуса $\rho = e^{i\alpha}$ при изменении α от 0 до 2π , аргумент $\arg f(\rho)$ изменится на $2\pi n$, то система с матрицей монодромии B устойчива асимптотически (так как все корни уравнения $\det(B - \rho E) = 0$ лежат в единичном круге).

Геометрически кривая $F(\alpha) = f(e^{i\alpha})$ при этом сделает n оборотов. Эту кривую можно также рассматривать как годограф системы (1). Для матрицы $A(t)$ 7-го порядка покажем соответствующий годограф $F(\alpha)$ на рис. 2.

Построение этого годографа не обязательно, мы его приводим для наглядности.

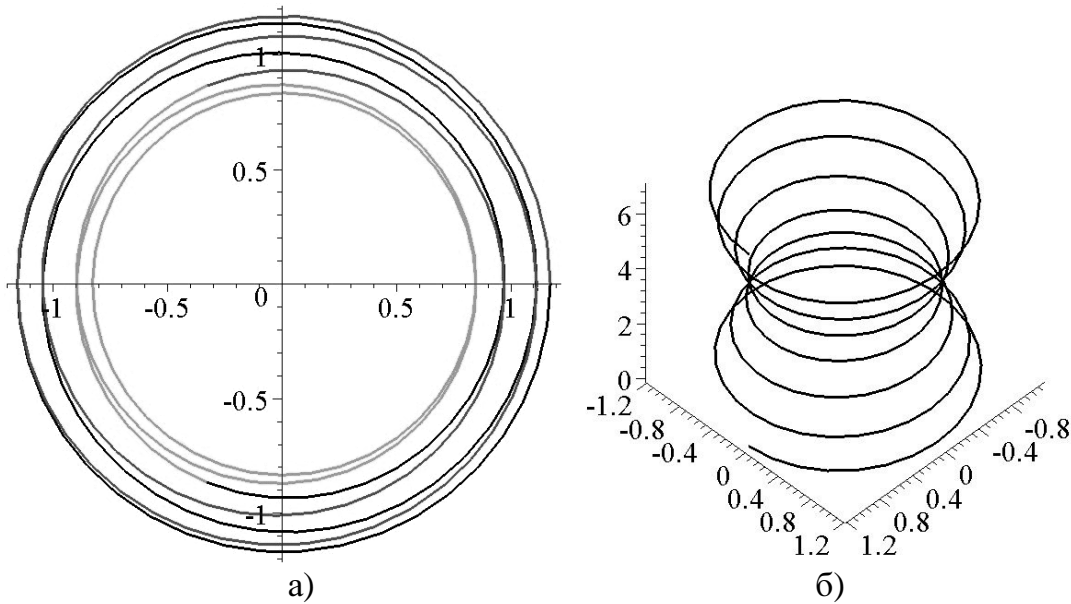


Рис. 2.

На рис. 2а изображен плоский годограф; на рис. 2б — его пространственный вариант; координата z пропорциональна α .

3. Устойчивость систем с постоянными запаздываниями

Рассмотрим линейное дифференциальное уравнение с постоянными коэффициентами и запаздываниями $\tau_{n-k,j}$.

$$y(n) + \sum_{k=1}^n \left[a_{n-k} y^{(n-k)}(t) + \sum_{j=1}^m (b_{n-k,j} y^{(n-k)}(t - \tau_{n-k,j})) \right] = 0.$$

Поиск его решения в виде $y(t) = e^{\lambda t}$ приводит к характеристическому квазиполиному и трансцендентному уравнению, имеющему бесконечное множество корней:

$$f(\lambda) \equiv \lambda^n + \sum_{k=1}^n \left[a_{n-k} \lambda^{n-k} + \sum_{j=1}^{m_{n-k}} b_{n-k} e^{-\lambda \tau_{n-k,j}} \right] = 0. \quad (2)$$

Для уравнения (2) алгебраические критерии не удается модернизировать, разработанный для уравнения без запаздываний,

критерий Михайлова дает заключение об устойчивости решений соответствующего дифференциального уравнения с запаздываниями.

Годограф при наличии существенных запаздываний перестает быть гладким, появляются петли, а потом “дрожь”, как на рис. 3. Главное, охватывает ли он точку O нужное количество раз. Для годографов уравнения $3\lambda^4 + (4 + 2e^{-\tau_{31}\lambda})\lambda^3 + (7 + e^{-\tau_{21}\lambda})\lambda^2 + 4\lambda + 2 = 0$: на рис. 3а $\tau_{31} = 0.8, \tau_{21} = 0.5$ – система устойчива; на рис. 3б $\tau_{31} = 3.8, \tau_{21} = 3.5$ – система неустойчива.

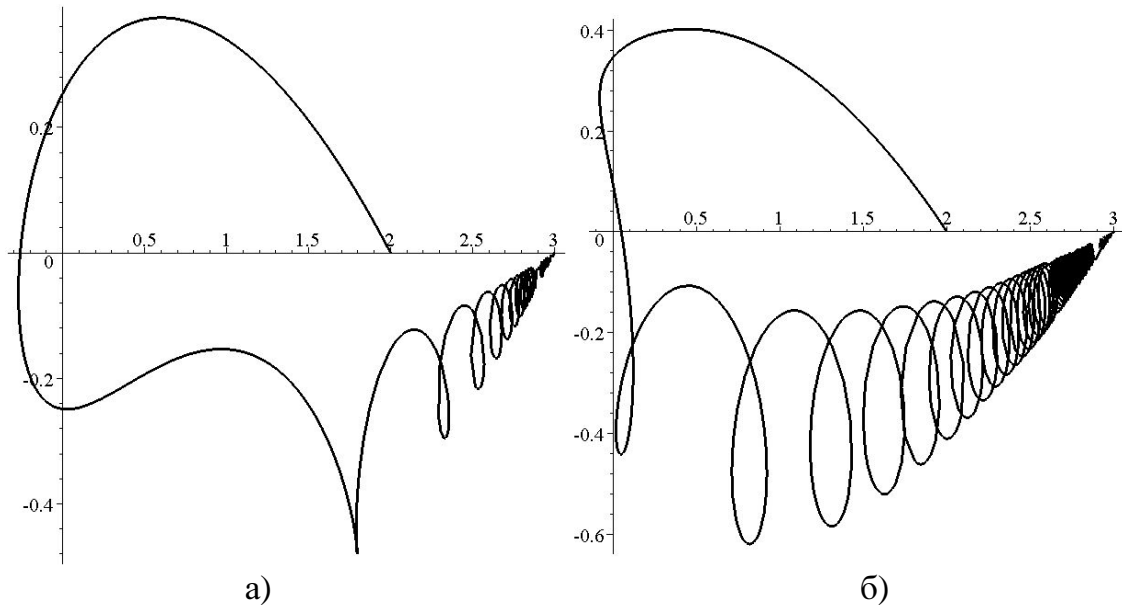


Рис. 3.

Используя разложение Тейлора по степеням τ :

$$y(t - \tau) = y(t) - \tau y'(t) + \tau^2 / 2 y''(t) - \dots, \quad (3)$$

заменяем члены с запаздыванием и, сведя подобные, получим уравнение с постоянными коэффициентами. В разложении по степеням τ будем сохранять члены порядка не выше n . При этом погрешность может быть оценена первым отбрасываемым членом. Если она не превышает «допусков» коэффициентов исследуемого уравнения, то можно получить надежный вывод об устойчивости, оценив ее *запас*.

4. Системы с периодическими запаздываниями. Используя разложение типа (3) для запаздывания $\tau = \tau_0 + a \cos(\omega t)$, получим систему с периодическими коэффициентами без запаздывания, рассмотренную в п. 2-3. Такие системы появляются при изучении движения объектов на периодически меняющихся расстояниях от Центра управления. Величина амплитуды $a \leq \tau_0$.

5. Устойчивость систем уравнений 2-го порядка. Рассмотрим систему уравнений

$$A\ddot{x} + Cx = 0; \quad (5.1)$$

скалярно умножая её слева на \dot{x} , а затем - справа и складывая произведения, получим уравнение

$$(A_1\dot{x}, \dot{x})' + (C_1x, x)' = 0, \quad A_1 = (A + A^T)/2, \quad C_1 = (C + C^T)/2. \quad (5.2)$$

Интеграл энергии $E = (A_1\dot{x}, \dot{x}) + (C_1x, x)$ системы (5.1) сохраняется, если квадратичные формы (КФ) с симметрическими матрицами A_1 и C_1 знакоопределены. Для установления знакоопределённости КФ нами установлен критерий:

КФ (By, y) знакоопределена отрицательно \Leftrightarrow система $\dot{y} = By$ асимптотически устойчива.

Доказательство вытекает из теорем Ляпунова и Четаева при использовании функций Ляпунова $V = (y, y)$ и Четаева $W = (By, y)$

Таким образом, вопрос об устойчивости системы (5.1) сводится к установлению асимптотической устойчивости систем с матрицами A_1 и C_1 , рассмотренной в п.1.

Более общая система

$$A\ddot{x} + B\dot{x} + Cx = 0, \quad (5.3)$$

аналогично сводится к равенству, обобщающему (5.2):

$$(A_1\dot{x}, \dot{x})' + (B_1\dot{x}, \dot{x}) + (C_1x, x)' = 0, \quad B_1 = (B + B^T)/2. \quad (5.4)$$

Из него вытекает закон изменения энергии $\frac{dE}{dt} = -(B_1\dot{x}, \dot{x})$. Если КФ (B_1y, y) знакоопределена отрицательно, то энергия E убывает и система (5.3) асимптотически устойчива. Если эта КФ определена положительно, то система (5.3) неустойчива. Для знакопеременной КФ такого простого признака устойчивости построить не удастся. Этот признак носит достаточный характер. Наличие в формуле (5.4) симметрической части матрицы «затуханий» B_1 свидетельствует об отсутствии влияния гироскопических членов на устойчивость.

В последнем случае приходится рассматривать устойчивость системы $\dot{z} = Dz$ порядка $2n$ с клеточной матрицей

$$D = \begin{pmatrix} 0 & E_n \\ d_{21} & d_{22} \end{pmatrix}, \quad \text{где } d_{21} = -A^{-1}C, \quad d_{22} = -A^{-1}B.$$

Это резко увеличивает объём вычислений, требуя отыскания обратной матрицы A^{-1} , умножений на неё, и удваивает размерность.

Литература

1. Демидович Б. П. Лекции по математической теории устойчивости. – М.: Наука, 1967. – 472 с.

Получено 29.05.2009